



Università degli Studi di Padova

---

DIPARTIMENTO DI MATEMATICA "TULLIO LEVI CIVITA"

*Corso di laurea in INFORMATICA*

**Implementazione di modelli di  
programmazione matematica per  
problemi di bin packing**

*Relatore*

LUIGI DE GIOVANNI  
UNIVERSITÀ DI PADOVA

*Laureando*

DANIEL ROSSI



# Ringraziamenti

*Ecco raggiunto un altro traguardo molto importante carico di felicità che vorrei condividere con coloro che mi sono stati vicino durante questi anni.*

*Prima di tutto vorrei porgere i miei ringraziamenti al Professor De Giovanni per il supporto fornitomi durante il periodo di stage e durante la stesura della tesi.*

*Ringrazio l'azienda Trans-Cel per l'opportunità di stage offertomi, grazie a Filippo, Nicola e Beatrice per le tante ore passate insieme.*

*Ringrazio la mia famiglia ed in particolare mia madre per lo sforzo fatto nello spronarmi a ricercare un futuro in cui mi sentissi realizzato.*

*Ai miei compagni di Università, per le giornate passate insieme in Torre Archimede, nostra seconda casa, per le risate, le giornate brutte e quelle belle, grazie di avermi fatto sentire apprezzato e coinvolto, grazie per il tempo dedicatomi, in particolare grazie a Victor e Mihai per gli importanti momenti passati insieme a studiare, sarà difficile trovare migliori compagni di corso di voi.*

*Infine voglio ringraziare Anna, non ultima per importanza, per avermi sempre sostenuto durante tutti questi anni, per avermi ascoltato nei momenti di difficoltà e aver condiviso con me la felicità dei momenti belli, non penso potrò mai ringraziarti abbastanza per l'aiuto nella revisione di questo documento.*

*Padova, Dicembre 2018*

*Daniel Rossi*



# Abstract

*Il documento illustra il lavoro svolto durante lo stage curriculare, della durata di trecentoventi ore, presso l'azienda di trasporti Trans-Cel.*

*Lo scopo di tale stage è stato quello di realizzare dei modelli di programmazione lineare per la risoluzione dello Strip Packing Problem, questi sono poi stati utilizzati per valutare oggettivamente la bontà delle soluzioni fornite dall'euristica aziendale, la quale si occupa della risoluzione di tale problema. Si è operato un confronto con le rispettive soluzioni ottenute con modelli matematici, messi in condizioni simili tali da operare con gli stessi vincoli imposti all'euristica.*

*Lo scopo era di fornire all'azienda uno strumento che permettesse di misurare oggettivamente la distanza delle soluzioni fornite dall'euristica dall'ottimo.*

*Gli obiettivi di maggiore importanza sono stati l'apprendimento del linguaggio di programmazione Python e delle librerie correlate, utili per la rappresentazione delle soluzioni e la manipolazione dei dati e della libreria Google Or-Tools per la prototipazione dei modelli.*

*L'obiettivo finale era la realizzazione di modelli di programmazione lineare che permettessero di produrre soluzioni corrette e ottime da confrontare con quelle fornite dall'euristica, per valutarne quantitativamente la bontà.*



# Indice

RINGRAZIAMENTI	ii
ABSTRACT	v
LISTA DELLE FIGURE	x
LISTA DELLE TABELLE	xiii
<b>1 INTRODUZIONE</b>	<b>1</b>
1.1 L'azienda . . . . .	1
1.2 L'idea . . . . .	2
1.3 Organizzazione del testo . . . . .	2
1.4 Convenzioni tipografiche . . . . .	3
1.5 Convenzioni modelli . . . . .	3
<b>2 PROCESSI E METODOLOGIE</b>	<b>5</b>
2.1 Contesto . . . . .	5
2.2 Introduzione al progetto . . . . .	6
2.3 Vincoli temporali, tecnologici e metodologici . . . . .	7
2.4 Requisiti e obiettivi . . . . .	7
2.4.1 Lista obiettivi . . . . .	8
2.5 Pianificazione . . . . .	9
2.6 Ambiente di lavoro . . . . .	11
2.6.1 Metodi di sviluppo . . . . .	11
2.6.2 Gestione di progetto . . . . .	11
2.6.3 Linguaggio di programmazione e ambiente di sviluppo . . . . .	11
2.7 Analisi dei rischi . . . . .	12
<b>3 INQUADRAMENTO DELLE ATTIVITÀ DI STAGE</b>	<b>15</b>
3.1 Il progetto aziendale . . . . .	15
3.2 Il progetto di stage . . . . .	16
3.3 Astrazione del problema . . . . .	16
3.4 Variante del Bin Packing . . . . .	17

<b>4</b>	<b>MODELLI PER IL BIN PACKING</b>	<b>19</b>
4.1	Modelli di programmazione matematica . . . . .	19
4.2	Modelli di programmazione lineare . . . . .	20
4.3	Big M . . . . .	21
4.4	Modello 2D . . . . .	21
4.5	Modello 2D con rotazione . . . . .	24
4.6	Modello 2D con rotazione e sequenza scarico . . . . .	27
4.7	Modello 3D con rotazione e sovrapposizione . . . . .	32
<b>5</b>	<b>TEST E VALIDAZIONE</b>	<b>37</b>
5.1	Istanze . . . . .	37
5.2	Numero di oggetti . . . . .	38
5.3	Validazione soluzioni fornite . . . . .	39
<b>6</b>	<b>TECNOLOGIE E STRUMENTI</b>	<b>41</b>
6.1	Tecnologie . . . . .	41
6.1.1	Python . . . . .	41
6.1.2	Google Or-Tools . . . . .	42
6.1.3	Cbc . . . . .	42
6.1.4	Boost . . . . .	43
6.1.5	Pandas . . . . .	43
6.1.6	Matplotlib . . . . .	44
6.1.7	Multiprocessing . . . . .	44
6.2	Strumenti . . . . .	44
6.2.1	Dropbox . . . . .	44
6.2.2	GitHub . . . . .	45
6.2.3	Visual Studio Code . . . . .	45
6.2.4	Jupyter Notebook . . . . .	46
6.2.5	PIP . . . . .	46
6.2.6	Taiga . . . . .	47
<b>7</b>	<b>RISULTATI</b>	<b>49</b>
7.1	Errori . . . . .	50
7.2	Risultati modello 2DR . . . . .	51
7.3	Risultati modello 2DRS . . . . .	52
7.4	Risultati modello 3D . . . . .	53
<b>8</b>	<b>CONCLUSIONI</b>	<b>55</b>
8.1	Consuntivo finale . . . . .	55
8.2	Raggiungimento degli obiettivi . . . . .	57
8.3	Conoscenze acquisite . . . . .	57



8.4 Valutazione personale . . . . .	57
GLOSSARIO	<b>59</b>
ACRONIMI	<b>60</b>
RIFERIMENTI BIBLIOGRAFICI	<b>63</b>



# Lista delle figure

3.1	Contenitori Bin Packing . . . . .	17
4.1	Veduta area - piano cartesiano . . . . .	22
4.2	Pacchi ruotati . . . . .	24
4.3	Vie scaricamento pacco . . . . .	27
4.4	Corretta sequenza di scarico . . . . .	27
4.5	Grafico con merci 3D . . . . .	32
5.1	Grafico tempi esecuzione . . . . .	39
6.1	Logo Python . . . . .	41
6.2	Logo Or-Tools . . . . .	42
6.3	Logo Cbc . . . . .	42
6.4	Logo Boost . . . . .	43
6.5	Logo Pandas . . . . .	43
6.6	Logo Matplotlib . . . . .	44
6.7	Logo Dropbox . . . . .	44
6.8	Logo GitHub . . . . .	45
6.9	Logo Visual Studio Code . . . . .	45
6.10	Logo Jupyter Notebook . . . . .	46
6.11	Logo Pip . . . . .	46
6.12	Logo Taiga . . . . .	47



# Lista delle tabelle

2.1	Pianificazione concordata nel piano di lavoro . . . . .	10
5.1	Le dimensioni dei gruppi di istanze eseguite . . . . .	38
7.1	Risultati 2DR ottimi . . . . .	51
7.2	Risultati 2DR best bound . . . . .	51
7.3	Risultati 2DRS ottimi . . . . .	52
7.4	Risultati 2DRS best bound . . . . .	52
7.5	Risultati 3D ottimi . . . . .	53
7.6	Risultati 3D best bound . . . . .	53
8.1	Ripartizione reale delle ore di stage . . . . .	56



# 1

## Introduzione

### 1.1 L'azienda

Trans-Cel è un'azienda di trasporti che opera nel settore da oltre trent'anni, ha una numerosa flotta composta da bilici e motrici con cui trasporta merci nel nord e centro Italia. Tra le qualità che contraddistinguono questa azienda c'è la tecnica del groupage ed il trasporto di merci pericolose.

L'azienda ha sede ad Albignasego, in provincia di Padova. Nell'ufficio operativo vengono organizzati in tempo reale i viaggi dei mezzi per trasportare le merci dei clienti, fornendo anche un servizio di deposito se richiesto.

Da questa realtà si evince come si debba essere sempre pronti alla comunicazione con i clienti, fornendo loro un servizio di trasporto adeguato che li soddisfi ma che permetta all'azienda di realizzare un profitto, è da qui che nasce la necessità di un software decisionale di supporto.

## 1.2 L'idea

All'interno del prodotto software che sta realizzando l'azienda, è in via di sviluppo un'euristica che permette di organizzare al meglio le merci all'interno del container del camion in modo automatico. L'idea è quella di valutare la bontà delle *soluzioni*<sup>[9]</sup> fornite dalla stessa, confrontandole con quelle fornite dal modello e individuando se e con quali tipi di pacchi queste riportino differenze maggiori.

## 1.3 Organizzazione del testo

Di seguito viene riportata per ogni capitolo una piccola descrizione delle tematiche trattate:

- **Capitolo 2:** in questo capitolo vengono riportati gli obiettivi generali e la pianificazione concordata con l'azienda, inoltre vengono riportate le metodologie e strumenti utilizzati in generale, infine un'analisi dei rischi;
- **Capitolo 3:** viene descritto il problema generale e come è stato risolto dall'azienda, viene illustrato lo scopo dello stage, viene data una definizione astratta del problema in esame;
- **Capitolo 4:** vengono riportati i modelli utilizzati e una descrizione dell'idea di base, per ciascuno di essi verrà riportato integralmente la lista delle variabili utilizzate, descrivendo inoltre anche cosa modellino, viene riportato per ciascun modello una descrizione dei vincoli, a corredo di tutto questo ci sarà del materiale grafico utilizzato durante lo stage;
- **Capitolo 5:** vengono riportate le modalità con cui si sono eseguiti i test, illustrando come siano stati strutturati e come sia stato possibile verificare le soluzioni fornite dai modelli;
- **Capitolo 6:** vengono riportati gli strumenti adottati per lo svolgimento delle attività, corredati da una breve descrizione che riporti come sono stati utilizzati;
- **Capitolo 7:** vengono riportati i risultati ottenuti per ciascun modello, fornendo una serie di osservazioni sulle peculiarità dei gruppi di istanze usate nei test;
- **Capitolo 8:** vengono riportate le conclusioni relative al numero di obiettivi soddisfatti e all'effettiva suddivisione delle ore rispetto tali obiettivi.



## 1.4 Convenzioni tipografiche

Il testo adotta le seguenti convenzioni tipografiche:

- ogni acronimo, abbreviazione, parola ambigua o tecnica viene spiegata e chiarificata alla fine del testo;
- ogni parola di glossario alla prima apparizione verrà etichetta come segue: *parola*<sup>[g]</sup>;
- ogni riga di un elenco puntato terminerà con un ; a parte l'ultima riga che si concluderà con un punto.

## 1.5 Convenzioni modelli

Ogni qual volta si dovrà fare riferimento ad un modello lo si farà attraverso i seguenti acronimi:

- **2D**: modello in 2 dimensioni, considera solo profondità e larghezza;
- **2DR**: modello in 2 dimensioni con la rotazione;
- **2DRS**: modello in 2 dimensioni con rotazione e sequenza di scarico;
- **3D**: modello in 3 dimensioni con rotazione e sovrapposizione, la rotazione è la stessa disponibile nei modelli 2D, vengono considerate quindi larghezza, profondità e altezza.



# 2

## Processi e metodologie

In questo capitolo verranno riportati in modo approfondito lo scopo e gli obiettivi dello stage, contestualizzazione delle attività alla realtà aziendale e scadenziario delle stesse.

### 2.1 Contesto

Il progetto generale nasce dalla visione di Filippo Sottovia, titolare dell'azienda, di realizzare un software decisionale di supporto che permettesse di soddisfare molteplici obiettivi quali:

- agevolazione degli operatori nello svolgimento delle loro mansioni;
- facilitazione del processo decisionale richiedendo così lavoratori meno esperti;
- nascita di nuove attività frutto del tempo risparmiato grazie all'aumento della produttività;
- condivisione in tempo reale delle informazioni sullo stato dei trasporti;
- stima di costi e profitti disponibile in ogni momento.

Il software fornisce un'interfaccia grafica web intuitiva che fa dell'usabilità la propria punta di diamante. Essa infatti persegue l'idea di rendere il più semplice possibile operare sul sistema senza però mancare di professionalità. Il sistema inoltre è equipaggiato con algoritmi che permettono di ottimizzare gli ordini organizzando al meglio le merci da trasportare ripartendole nei diversi camion della flotta, tenendo conto degli orari di carico e scarico, delle sedi dei clienti/fornitori, delle condizioni di traffico sulle strade, delle pause dovute per legge agli autisti e della particolarità delle merci.

## 2.2 Introduzione al progetto

L'azienda per permettere di stimare lo spazio occupato dalle merci ha sviluppato un'*euristica*<sup>[9]</sup>, questa riceve in input le merci da trasportare divise nei diversi ordini di consegna, le approssima a parallelepipedi e le dispone al meglio sul pianale del camion, sovrapponendole dove possibile, con l'obiettivo di ridurre al minimo lo spazio lineare occupato dalle stesse, così facendo si risparmia spazio per eventuali altre merci da caricare qualora arrivassero nuovi ordini. A rendere ancora più complicato il lavoro dell'euristica riportiamo quattro principali problemi da tenere in considerazione:

- Stabilità degli oggetti: la faccia inferiore di ciascun oggetto deve poggiare per intero sulle facce superiori di altri oggetti sotto di sé o sul pianale del camion;
- Sequenza di scarico: ogni oggetto deve poter essere scaricato lateralmente o frontalmente, questo implica che non può avere intorno a sé merci che ne blocchino lo scarico, in quanto appartenenti ad ordini successivi;
- Baricentro degli oggetti: il peso delle merci deve essere equamente distribuito sul pianale del camion;
- Sovrapponibilità delle merci: alcune merci non sono sovrapponibili.

## 2.3 Vincoli temporali, tecnologici e metodologici

Nel periodo di stage svolto presso l'azienda mi è stato chiesto di tenere un *diario* condiviso utilizzando DropBox<sup>5</sup>, nel suddetto mi si richiedeva di annotare giornalmente l'avanzare del lavoro riportando idee e osservazioni emerse durante i *brainstorming*<sup>[9]</sup> quotidiani, criticità rilevate e positività riscontrate negli strumenti utilizzati. Nella cartella condivisa mi è stato chiesto di includere anche gli articoli accademici letti e le presentazioni fatte in azienda man mano che si proseguiva con lo stage.

La presentazione di metà stage è stata un evento importante al quale ha presenziato tutto il team di sviluppo, parte del personale d'amministrazione e il Professor De Giovanni che mi ha fornito preziosi consigli sugli obiettivi su cui orientare gli sforzi per la seconda metà dello stage, alla luce di quanto ottenuto nella prima metà.

Prima di iniziare lo stage è stato concordato con l'azienda un piano di lavoro su un totale di 320 ore, lavorando 5 giorni a settimana, 8 ore per ciascun giorno.

## 2.4 Requisiti e obiettivi

Nell'elenco di seguito vengono riportati gli obiettivi dello stage, a corredo degli stessi vi sarà un codice univoco ed una breve descrizione.

Ogni obiettivo è provvisto di un codice identificativo formato da una delle seguenti stringhe *ob,de,op*, che rappresentano il livello di importanza e da un numero incrementale positivo, che rispetta la seguente nomenclatura:

[importanza][identificativo].

Il livello di importanza di ciascun obiettivo può essere uno tra i seguenti:

- **Obbligatorio:** individuato dalla stringa *ob*, sono obiettivi fondamentali per la riuscita del progetto, il loro soddisfacimento dovrà verificarsi obbligatoriamente entro la fine dello stage, pena il fallimento dello stesso;
- **Desiderabile:** individuato dalla stringa *de*, sono obiettivi secondari su cui però si nutre dell'interesse, il loro soddisfacimento è auspicabile entro la fine dello stage;

- Opzionale: individuato dalla stringa *op*, sono obiettivi di contorno su cui si nutre poco interesse, la loro realizzazione si verificherà nel momento in cui si dovessero soddisfare tutti gli obiettivi obbligatori e desiderabili prima della fine dello stage.

### 2.4.1 Lista obiettivi

Si prevede lo svolgimento dei seguenti obiettivi:

- Obbligatori
  - ob01: individuazione e analisi *constraints* modello 2D;
  - ob02: modello matematico 2D con *framework* di modellazione algebrica;
  - ob03: traduzione modello in Python con l’ausilio di Google OR-Tools;
  - ob04: test sul modello 2D e confronto con l’euristica;
  - ob05: individuazione e analisi *constraints* modello 2DR;
  - ob06: modello matematico 2DR con *framework* di modellazione algebrica;
  - ob07: traduzione modello in Python con l’ausilio di Google OR-Tools;
  - ob08: test sul modello 2DR e confronto con l’euristica;
- Desiderabili
  - de01: individuazione e analisi *constraints* modello 3D;
  - de02: modello matematico 3D con *framework* di modellazione algebrica;
  - de03: traduzione modello in Python con l’ausilio di Google OR-Tools;
  - de04: test sul modello 3D e confronto con l’euristica;
- Opzionali
  - op01: evoluzione euristica, fornita dall’azienda, con nuove funzionalità;

## 2.5 Pianificazione

Con le ore a disposizione per questo stage si è proceduto a organizzare come segue le attività:

- **Formazione:** si è visto necessario approfondire la programmazione lineare e la letteratura correlata al problema del bin packing, imparare il linguaggio di programmazione Python<sup>16</sup>, l'ambiente fornito dallo strumento Jupyter notebook<sup>10</sup> e imparare ad usare il framework Google Or-Tools<sup>13</sup>.
- **Modello 2D:** questo periodo di stage ha richiesto la prototipazione, realizzazione e test del modello 2D e il confronto con l'euristica.
- **Modello 2DR:** questo periodo di stage ha richiesto la prototipazione, realizzazione e test del modello 2DR e il confronto con l'euristica.
- **Modello 3D:** questo periodo di stage ha richiesto la prototipazione, realizzazione e test del modello 3D e il confronto con l'euristica.
- **Lavoro sviluppo euristica:** periodo richiesto per realizzare delle funzionalità da integrare nell'euristica.

Ogni periodo di sviluppo di un modello sarà poi diviso a sua volta nelle seguenti attività:

- analisi dei constraints
- prototipazione
- test del modello
- confronto con l'euristica.

La pianificazione delle attività è stata distribuita come mostrato nella Tabella 2.1.

Durata in ore		Descrizione dell'attività
56		<b>A:</b> Formazione
	8	<ul style="list-style-type: none"> <li>Ricerca <i>framework</i> di modellazione algebrica</li> <li>Studio di tale <i>framework</i></li> <li>Studio Google OR - Tools</li> </ul>
	24	
	24	
104		<b>B:</b> Versione modello 2D
	8	<ul style="list-style-type: none"> <li>Individuazione ed analisi <i>constraints</i></li> <li>Prototipazione modello</li> <li>Traduzione in Python - Google OR - Tools</li> <li>Test e confronto con euristica</li> </ul>
	48	
	24	
	24	
72		<b>C:</b> Versione modello 2D con rotazione
	8	<ul style="list-style-type: none"> <li>Individuazione ed analisi <i>constraints</i></li> <li>Prototipazione modello</li> <li>Traduzione in Python - Google OR - Tools</li> <li>Test e confronto con euristica</li> </ul>
	24	
	16	
	16	
72		<b>D:</b> Versione modello 3D con sovrapposizione
	8	<ul style="list-style-type: none"> <li>Individuazione ed analisi <i>constraints</i></li> <li>Prototipazione modello</li> <li>Traduzione in Python - Google OR - Tools</li> <li>Test e confronto con euristica</li> </ul>
	32	
	16	
	24	
16		<b>E:</b> Lavoro sviluppo euristica
	16	<ul style="list-style-type: none"> <li>Realizzazione nuove funzioni euristica</li> </ul>
<b>Totale: 320</b>		

Table 2.1: Pianificazione concordata nel piano di lavoro



## 2.6 Ambiente di lavoro

### 2.6.1 Metodi di sviluppo

Il *ciclo di vita*<sup>[9]</sup> di un prodotto in Trans-Cel segue il *modello incrementale*<sup>[9]</sup>, formato da un periodo di concezione dell'idea, analisi della stessa, progettazione ed infine, partendo dagli obiettivi più importanti, si realizza il prodotto rilasciando periodicamente una versione dello stesso, che dovrà mostrare le nuove funzionalità sviluppate dimostrando così l'incremento fatto. In quest'ottica, lo sviluppo di un modello può essere associato ad un incremento, la cui *milestone*<sup>[9]</sup> è la ricezione dei risultati. A sua volta lo sviluppo di ciascun modello segue il modello incrementale, che può essere visto come l'insieme di tre principali attività:

- Analisi letteratura: lettura articoli accademici riportanti modelli simili o idee per lo sviluppo degli stessi.
- Scrittura: scrittura del modello e integrazione con il sistema grazie al framework Or-Tools.
- Verifica: testing massivo e verifica delle soluzioni fornite.

### 2.6.2 Gestione di progetto

Per quanto riguarda la gestione di progetto sono stati utilizzati alcuni strumenti descritti con maggiore dettaglio nel **Capitolo 6**. In generale per la gestione dei task da eseguire si è fatto uso di Taiga<sup>19</sup>, uno strumento di *project management*<sup>[9]</sup>, per la gestione della comunicazione e condivisione di informazioni si è fatto uso dell'applicazione Telegram<sup>20</sup>, per la condivisione di documentazione e articoli si è fatto uso del servizio DropBox<sup>5</sup>, per il versionamento si è fatto uso del servizio GitHub<sup>7</sup> per la familiarità dello strumento, infine per quanto riguarda l'interfaccia con cui versionare ho utilizzato git<sup>6</sup> da terminale.

### 2.6.3 Linguaggio di programmazione e ambiente di sviluppo

Per la totalità dello stage si è lavorato utilizzando Jupyter notebook<sup>10</sup>. Con questo strumento è stato possibile scrivere programmi in linguaggio Python<sup>16</sup> in modo molto agevole.

Questo linguaggio di programmazione è orientato agli oggetti ed interpretato dinamicamente al momento dell'esecuzione da un interprete. Python<sup>16</sup> risulta veramente versatile in quanto fornisce incredibili funzionalità utilizzabili in modo semplice e intuitivo, dispone di moltissimi moduli che permettono le più svariate operazioni, inoltre è stato possibile, grazie alla libreria Boost<sup>1</sup>, esporre costrutti C++<sup>4</sup> a Python<sup>16</sup> permettendo di utilizzarli nei propri programmi, questo ha permesso di mantenere efficienza e modularità.

## 2.7 Analisi dei rischi

In questa sezione vengono riportati i principali rischi che si prefiguravano all'inizio dello stage. Ciascuno di essi oltre ad avere una breve descrizione riporta il livello di rischio, in termini di pericolosità per la riuscita dello stage e come si possa fare per evitarlo:

- **Difficoltà nelle tecnologie adottate**

Ad inizio stage è stato chiaro che Python<sup>16</sup> avrebbe avuto un ruolo dominante nel progetto ma la mole di librerie ed estensioni rendeva il linguaggio troppo vasto da poter approfondire nella sua interezza, ed oltre a questo vi era il modulo Or-Tools<sup>13</sup> e Pandas<sup>14</sup> da approfondire e utilizzare.

- **Livello di rischio:** Basso;
- **Contromisure:** Studiare approfonditamente il linguaggio Python<sup>16</sup> e i moduli sopra citati.

- **Difficoltà di integrazione nel team**

Di fondamentale importanza per la riuscita di un progetto è la cooperazione con i colleghi e la creazione di un ambiente di lavoro sano e che stimoli la produttività, essendo un nuovo arrivato inserito in un ambiente soggetto a forte stress per le stringenti scadenze vi era la possibilità di entrare in conflitto con qualche collega.

- **Livello di rischio:** Basso;
- **Contromisure:** Perseguire un atteggiamento positivo, critico e oggettivo.

- **Contrattempi dovuti a malattie e impegni**

Un rischio da tenere in considerazione è quello dovuto a impegni o malattie che precludano la possibilità di recarsi nel luogo di lavoro, data la durata dello stage è sicuramente possibile possa verificarsi.

- **Livello di rischio:** Basso;
- **Contromisure:** Organizzare precedentemente ogni impegno non lavorativo e tempo di *slack*<sup>[9]</sup> per evitare contrattempi.

- **Difficoltà di stima dei tempi previsti**

Con un progetto di così lunga durata e l'inesperienza che ci portiamo appresso è possibile che vengano fatti degli errori di valutazione in termini di tempistiche per lo svolgimento delle diverse attività pianificate.

- **Livello di rischio:** Medio;
- **Contromisure:** Rendere partecipi nella definizione del piano di lavoro persone esperte, come il tutor aziendale e il project manager.



# 3

## Inquadramento delle attività di stage

### 3.1 Il progetto aziendale

Per riuscire ad inquadrare al meglio lo scopo del progetto di stage è importante capire a fondo il progetto generale che l'azienda porta avanti da ormai alcuni anni, poiché essi sono tra loro intrinsecamente legati. Il progetto generale mira a fornire un prodotto che possa far progredire il mercato del trasporto attraverso la digitalizzazione dello stesso. Questo attraverso il superamento dei vecchi gestionali, utilizzati concretamente solo per la fatturazione, e l'introduzione di una piattaforma web attraverso cui gestire ogni passaggio nel rapporto cliente-operatore.

Il software permette di gestire la flotta di mezzi e organizzare gli ordini di carico-scarico commissionati dai clienti. Questa organizzazione può essere svolta manualmente da un operatore esperto oppure affidandosi ad algoritmi, questi organizzano gli ordini utilizzando i camion disponibili nel miglior modo possibile.

Il sistema dispone di un algoritmo per il *vehicle routing*<sup>[9]</sup>, a cui si può dire faccia capo l'intero progetto. L'algoritmo si occupa di ottimizzare i viaggi dei camionisti considerando un numero elevato di variabili, questo ha subito diversi rilasci in un'ottica di miglioramento continuo, per renderlo sempre più efficiente, versatile e preciso.

In questo contesto avere un'euristica che fornisca la valutazione approssimativa

dello spazio occupato da un certo numero di merci è molto importante, questo perché è necessario sapere quanti mezzi siano necessari per trasportare le merci richieste e quanto spazio sia ancora disponibile per ordini futuri.

## 3.2 Il progetto di stage

Il progetto di stage, dopo l'evento StageIt<sup>18</sup> ed alcune riunioni presso l'azienda, è stato studiato dettagliatamente e riportato nel documento "piano di lavoro", nello stesso sono riportati gli obiettivi e la pianificazione delle attività.

L'importanza di ottenere una valutazione reale dello spazio occupato da un certo numero di oggetti è fondamentale. Lo stage prevede la realizzazione di diversi modelli matematici il cui sviluppo sarà incrementale in quanto ciascun modello eredita struttura dei vincoli dai precedenti.

Ogni modello per definizione permetterà di individuare la disposizione ottima dell'istanza corrente, questa potrà poi essere confrontata con quella dell'euristica. Dal confronto potremo individuare informazioni utili che permettano di valutare oggettivamente la bontà delle soluzioni fornite dall'euristica, allo scopo di capire se con il passare delle versioni rilasciate l'euristica stia migliorando e di quanto rispetto alle versioni passate.

## 3.3 Astrazione del problema

Una possibile astrazione del problema è considerare il container e le merci come se fossero parallelepipedi.

Questa astrazione è necessaria per poter approssimare il tutto come richiesto dal *Bin Packing Problem*, problema su cui si è studiato e discusso molto in ambito accademico, portando alla realizzazione di algoritmi esatti ed euristiche.

Si consideri un insieme  $I = \{1, \dots, n\}$  di oggetti aventi dimensioni  $w_i$ ,  $d_i$  e  $h_i$  con  $i \in I$ , un insieme  $J = \{1, \dots, m\}$  di contenitori di uguale dimensione  $W$ ,  $D$  e  $H$ . Ogni oggetto  $i \in I$  ha la possibilità di essere ruotato di  $90^\circ$  rispetto la propria base e si da per ipotesi che  $w_i \leq W$ ,  $d_i \leq D$  e  $h_i \leq H$ .

Esiste inoltre la possibilità che gli oggetti vengano sovrapposti. L'obiettivo è di utilizzare il minor numero di contenitori  $J$  che riescano a contenere tutti gli

oggetti dell'insieme  $I$ . Nella Figura 3.1 vengono mostrati due contenitori di uguali dimensioni contenenti dei pacchi di diverse dimensioni.

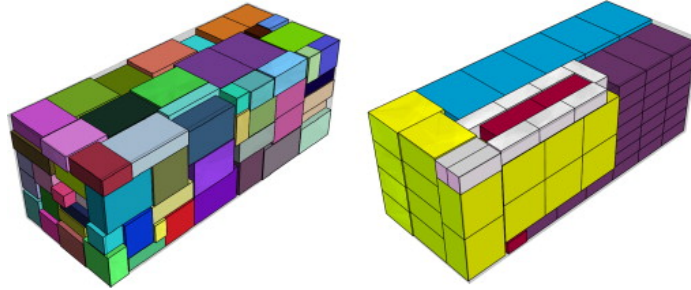


Figure 3.1: Due contenitori completamente pieni

### 3.4 Variante del Bin Packing

Una variante del problema del Bin Packing, il più famoso di una lunga serie di problemi di disposizione di oggetti in contenitori, è lo *Strip Packing Problem*. Le differenze principali dal precedente possono essere individuate di seguito:

- **Numero di contenitori:** viene utilizzato un singolo contenitore;
- **Profondità:** la profondità del contenitore è infinita;
- **Oggetti:** come obiettivo si ha quello di occupare minor spazio lineare possibile rispetto la profondità del contenitore.





# 4

## Modelli per il Bin Packing

In questo capitolo presenteremo prima una rapida introduzione ai modelli matematici, tratta dal libro<sup>23</sup>, per poi analizzare nel dettaglio ciascun modello utilizzato, spiegando ciascun vincolo e delineandone quindi l'idea di base.

### 4.1 Modelli di programmazione matematica

Quando si parla di problemi di ottimizzazione spesso si fa riferimento alla ricerca operativa e ai modelli matematici. Questi modelli producono una soluzione che massimizza o minimizza una funzione obiettivo  $f(x)$  su un certo dominio, questa può rappresentare un aspetto di costo o guadagno. La soluzione restituita ha la proprietà di essere una soluzione ottima.

La funzione obiettivo solitamente viene rappresentata come segue:

$$\max z = f(x) \text{ (oppure } \min z = f(x))$$

s.t.

$$g_i(x) = \begin{cases} \leq b_i \\ = b_i, & i = 1, \dots, m \\ \geq b_i \end{cases}$$

$$x = (x_1, \dots, x_n) \in X \subseteq \mathbb{R}^n$$

Dove  $g_i$  è una matrice  $m \cdot n$  con vettori riga:  $g_1, \dots, g_m$  e  $b_i$  è un vettore in  $\mathbb{R}^m$   
In un modello sono presenti:

- **Variabili decisionali:** sono variabili con un dominio prefissato, che vengono utilizzate per formulare tutti gli altri elementi del modello, agendo sui valori assunti dalle stesse si troverà la soluzione ottima;
- **Funzione obiettivo:** funzione che deve essere massimizzata o minimizzata in base agli altri elementi su un dominio dato;
- **Vincoli:** serie di vincoli che correlano tra loro le variabili decisionali e permettono di descrivere condizioni fisiche o requisiti particolari richiesti dalla soluzione.

## 4.2 Modelli di programmazione lineare

Particolari tipi di problemi di programmazione matematica sono quelli in cui la funzione obiettivo  $f(x)$  e i vincoli  $g_i(x)$  sono funzioni lineari, in tal caso si può parlare di modello di *programmazione lineare*, espresso nel seguente modo:

$$\max z = \sum_{j=1}^n c_j x_j$$

s.t.

$$\sum_{j=1}^n a_{ij} x_j = \begin{cases} \leq b_i \\ = b_i, & i = 1, \dots, m \\ \geq b_i \end{cases}$$

$$x = (x_1, \dots, x_n) \in X \subseteq \mathbb{R}^n$$

Nonostante i modelli non lineari siano a volte molto più compatti ed intuitivi da capire, i modelli lineari mantengono comunque una maggiore semplicità e sono facilmente risolvibili. Sono molti gli strumenti ad uso commerciale e *open source*<sup>[9]</sup> disponibili per la loro risoluzione. Quello utilizzato durante lo stage è il *solver*<sup>[9]</sup>

open source di programmazione lineare intera Cbc<sup>2</sup> scritto in C++<sup>4</sup> interfacciato con Python<sup>16</sup> grazie a Google Or-Tools<sup>13</sup>. La creazione di un modello lineare parte dall'osservazione di un problema reale, fissando un obiettivo e creando vincoli che descrivano i requisiti estratti dal problema astraendo il tutto ad un insieme di vincoli lineari. Ogni variabile può avere un dominio differente, continua ( $x_j \in \mathbb{R}$ ), intera positiva ( $x_j \in \mathbb{Z}^+$ ) o binaria ( $x_j \in \{0, 1\}$ ) a seconda dell'utilizzo che se ne deve fare.

### 4.3 Big M

Le Big M, valori opportunamente definiti che permettono di attivare o disattivare alcuni vincoli, sono state definite cercando di assegnargli un valore come segue:

- $M$ : dati l'insieme  $I$  di oggetti,  $M$  è la sommatoria della massima dimensione tra  $w_i$  e  $d_i$  dell'oggetto  $i$ -esimo;
- $M_w$ : viene definito come la larghezza del contenitore  $W$  sommato ad  $M$ ;
- $M_d$ : viene definito come la profondità del contenitore  $D$  sommato ad  $M$ .
- $M_h$ : viene definito come l'altezza del contenitore  $H$  sommato ad  $M$ .

### 4.4 Modello 2D

Il modello per la versione 2D è stato preso dall'articolo<sup>22</sup>, esso considera solo larghezza e profondità degli oggetti e non ne permette la rotazione.

L'idea di base è quella di considerare solo la *visione aerea* del contenitore che viene così approssimata ad un rettangolo.

Questo rettangolo ha larghezza prefissata e profondità infinita, le due dimensioni posso essere considerate come assi di un piano cartesiano aventi origine nel punto di intersezione tra i due assi, individuato nella Figura 4.1 dal pallino verde, per convenzione diciamo che l'asse  $x$  sarà quello della larghezza e l'asse  $y$  quello della profondità.

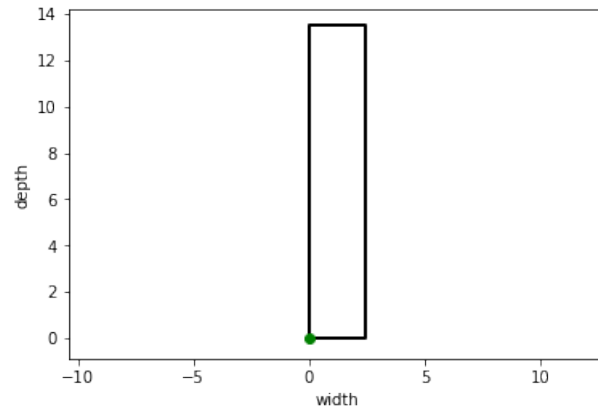


Figure 4.1: Veduta area del container

Il modello consiste delle seguenti variabili continue positive:

- la variabile continua  $x_i$  con  $i \in I$  individua la coordinata sull'asse  $x$  del vertice in basso a sinistra dell'oggetto  $i$ ;
- la variabile continua  $y_i$  con  $i \in I$  individua la coordinata sull'asse  $y$  del vertice in basso a sinistra dell'oggetto  $i$ ;
- la variabile continua  $D$  rappresenta i metri lineari rispetto la profondità e va minimizzata.

Il modello consiste delle seguenti variabili binarie:

- la variabile binaria  $l_{ij}$  con  $i, j \in I$  assume il valore 1 se l'oggetto  $i$  è situato alla sinistra dell'oggetto  $j$ , altrimenti è 0;
- la variabile binaria  $b_{ij}$  con  $i, j \in I$  assume il valore 1 se l'oggetto  $i$  è situato dietro all'oggetto  $j$ , altrimenti è 0.

$$\min D \quad (4.1)$$

$$\text{s.t.} \quad l_{ij} + l_{ji} + b_{ij} + b_{ji} \geq 1 \quad i < j \quad i, j \in I \quad (4.2)$$

$$y_i - y_j + M_d b_{ij} \leq M_d - d_i \quad i, j \in I \quad (4.3)$$

$$x_i - x_j + M_w l_{ij} \leq M_w - w_i \quad i, j \in I \quad (4.4)$$

$$x_i + w_i \leq W \quad i \in I \quad (4.5)$$

$$y_i + d_i \leq D \quad i \in I \quad (4.6)$$

$$b_{ij}, l_{ij} \in \{0, 1\} \quad i \neq j \quad i, j \in I \quad (4.7)$$

$$x_i, y_i, w_i, d_i \in \mathbb{R}^+ \quad i \in I \quad (4.8)$$

Spieghiamo ora il significato di ciascun vincolo:

- la funzione obiettivo (4.1) minimizza i metri lineari rispetto alla profondità;
- il vincolo (4.2) impone che presi due oggetti almeno uno dei due si trovi dietro o alla sinistra dell'altro;
- il vincolo (4.3) dice che se  $b_{ij} = 1$  allora impone che l'oggetto  $i$  si trovi dietro l'oggetto  $j$ , altrimenti il vincolo viene disattivato;
- il vincolo (4.4) dice che se  $l_{ij} = 1$  allora impone che l'oggetto  $i$  si trovi alla sinistra l'oggetto  $j$ , altrimenti il vincolo viene disattivato;
- il vincolo (4.5) impone che dato il valore  $x_i$ , corrispondente alla coordinata  $x$  dell'angolo sinistro più arretrato dell'oggetto, sommandoci la larghezza  $w_i$  dell'oggetto e ottenuta quindi la coordinata  $x$  dell'angolo destro più arretrato, questa sia contenuta nell'intervallo  $[0, W]$ ;
- il vincolo (4.6) impone che dato il valore  $y_i$ , corrispondente alla coordinata  $y$  dell'angolo sinistro più arretrato dell'oggetto, sommandoci la profondità  $d_i$  dell'oggetto e ottenuta quindi la coordinata  $y$  dell'angolo sinistro più avanzato, questa sia contenuta nell'intervallo  $[0, D]$ .

## 4.5 Modello 2D con rotazione

Il modello 2D con rotazione, basato sul modello fornito dall'articolo<sup>22</sup>, introduce in più rispetto al modello 2D la rotazione degli oggetti rispetto la propria base come mostrato in Figura 4.2.

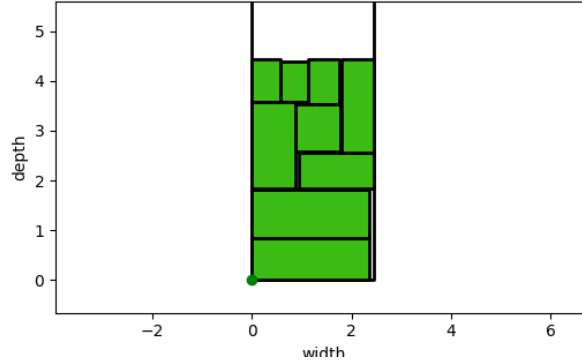


Figure 4.2: Veduta aerea di 9 pacchi, alcuni ruotati.

Il modello consiste delle seguenti variabili continue positive:

- la variabile continua  $x_i$  con  $i \in I$  individua la coordinata sull'asse  $x$  del vertice in basso a sinistra dell'oggetto  $i$ ;
- la variabile continua  $y_i$  con  $i \in I$  individua la coordinata sull'asse  $y$  del vertice in basso a sinistra dell'oggetto  $i$ ;
- la variabile continua  $D$  rappresenta i metri lineari rispetto la profondità e va minimizzata;
- la variabile continua  $\Omega_i$  con  $i \in I$  assume il valore  $d_i$  se l'oggetto è stato ruotato altrimenti  $w_i$ ;
- la variabile continua  $\Delta_i$  con  $i \in I$  assume il valore  $w_i$  se l'oggetto è stato ruotato altrimenti  $d_i$ .

Il modello consiste delle seguenti variabili binarie:

- la variabile binaria  $l_{ij}$  con  $i, j \in I$  assume il valore 1 se l'oggetto  $i$  è situato alla sinistra dell'oggetto  $j$ , altrimenti è 0;

- la variabile binaria  $b_{ij}$  con  $i, j \in I$  assume il valore 1 se l'oggetto  $i$  è situato dietro all'oggetto  $j$ , altrimenti è 0;
- la variabile binaria  $r_i$  con  $i \in I$  assume il valore 1 se l'oggetto  $i$  è ruotato rispetto la propria base di  $90^\circ$ , ne risulta che  $w_i$  e  $d_i$  sono invertiti, altrimenti 0.

$$\min D \quad (4.9)$$

$$\text{s.t.} \quad l_{ij} + l_{ji} + b_{ij} + b_{ji} \geq 1 \quad i < j \quad i, j \in I \quad (4.10)$$

$$\Delta_i = d_i(1 - r_i) - w_i r_i \quad i, j \in I \quad (4.11)$$

$$\Omega_i = w_i(1 - r_i) - d_i r_i \quad i, j \in I \quad (4.12)$$

$$y_i - y_j + M_d b_{ij} \leq M_d - \Delta_i \quad i, j \in I \quad (4.13)$$

$$x_i - x_j + M_w l_{ij} \leq M_w - \Omega_i \quad i, j \in I \quad (4.14)$$

$$x_i + \Omega_i \leq W \quad i \in I \quad (4.15)$$

$$y_i + \Delta_i \leq D \quad i \in I \quad (4.16)$$

$$b_{ij}, l_{ij}, r_i \in \{0, 1\} \quad i \neq j \quad i, j \in I \quad (4.17)$$

$$x_i, y_i, w_i, d_i, \Delta_i, \Omega_i \in \mathbb{R}^+ \quad i \in I \quad (4.18)$$

Spieghiamo ora il significato di ciascun vincolo:

- la funzione obiettivo (4.9) minimizza i metri lineari rispetto alla profondità;
- il vincolo (4.10) impone che presi due oggetti almeno uno dei due si trovi dietro o alla sinistra dell'altro;
- il vincolo (4.11) impone che  $\Delta_i$  corrisponda alla profondità corretta considerando la rotazione;
- il vincolo (4.12) impone che  $\Omega_i$  corrisponda alla larghezza corretta considerando la rotazione;
- il vincolo (4.13) dice che se  $b_{ij} = 1$  allora impone che l'oggetto  $i$  si trovi dietro l'oggetto  $j$ , altrimenti il vincolo viene disattivato;
- il vincolo (4.14) dice che se  $l_{ij} = 1$  allora impone che l'oggetto  $i$  si trovi alla sinistra l'oggetto  $j$ , altrimenti il vincolo viene disattivato;

- il vincolo (4.15) impone che dato il valore  $x_i$ , corrispondente alla coordinata  $x$  dell'angolo sinistro più arretrato dell'oggetto, sommandoci la larghezza  $w_i$  dell'oggetto e ottenendo quindi la coordinata  $x$  dell'angolo destro più arretrato, questa sia contenuta nell'intervallo  $[0, W]$ ;
- il vincolo (4.16) impone che dato il valore  $y_i$ , corrispondente alla coordinata  $y$  dell'angolo sinistro più arretrato dell'oggetto, sommandoci la profondità  $d_i$  dell'oggetto e ottenendo quindi la coordinata  $y$  dell'angolo sinistro più avanzato, questa sia contenuta nell'intervallo  $[0, D]$ .



## 4.6 Modello 2D con rotazione e sequenza scarico

Il modello è stato basato su quello fornito dall'articolo<sup>22</sup>. Con questo modello ci proponiamo di disporre nel miglior modo possibile gli oggetti sul pianale del camion tenendo conto della sequenza di scarico, un oggetto può essere scaricato lateralmente alla sua destra/sinistra oppure dal fondo del camion.

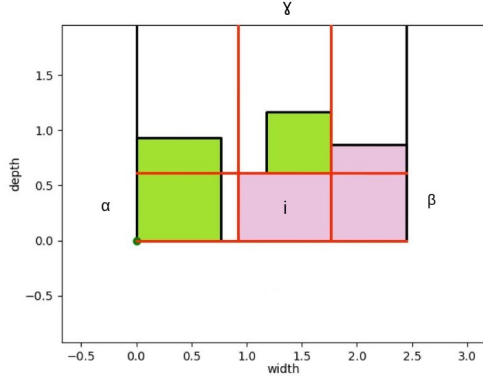


Figure 4.3: Vie di scarico pacco

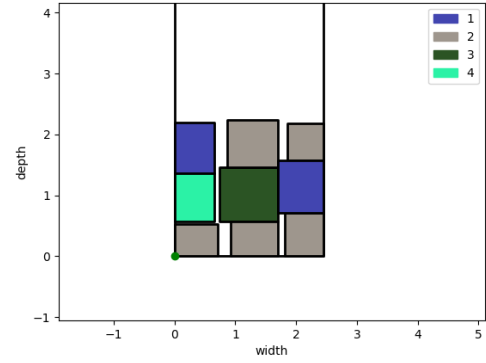


Figure 4.4: Sequenza corretta

Nel momento in cui l'oggetto verrà scaricato, dovrà avere almeno una di queste vie libere. Nella Figura 4.4 vengono riportati colori diversi per indicare i diversi ordini di scarico, riconoscibili grazie alla legenda. Come si può notare nella Figura 4.3, le vie attraverso cui può essere effettuato uno scarico vengono decise dall'indice  $v \in \theta = \{\alpha, \beta, \gamma\}$  che individua rispettivamente:

- $v = \alpha$ : via alla sinistra del pacco da cui può essere sfilato;
- $v = \beta$ : via alla destra del pacco da cui può essere sfilato;
- $v = \gamma$ : via di fronte al pacco da cui può essere sfilato;

Il modello introduce le seguenti variabili continue positive:

- la variabile continua  $x_i$  con  $i \in I$  individua la coordinata sull'asse  $x$  del vertice in basso a sinistra dell'oggetto  $i$ ;
- la variabile continua  $y_i$  con  $i \in I$  individua la coordinata sull'asse  $y$  del vertice in basso a sinistra dell'oggetto  $i$ ;

- la variabile continua  $D$  rappresenta i metri lineari rispetto la profondità e va minimizzata;
- la variabile continua  $\Omega_i$  con  $i \in I$  assume il valore  $d_i$  se l'oggetto è stato ruotato altrimenti  $w_i$ ;
- la variabile continua  $\Delta_i$  con  $i \in I$  assume il valore  $w_i$  se l'oggetto è stato ruotato altrimenti  $d_i$ .

Il modello introduce le seguenti variabili binarie:

- la variabile binaria  $l_{ij}$  con  $i, j \in I$  assume il valore 1 se l'oggetto  $i$  è situato alla sinistra dell'oggetto  $j$ , altrimenti è 0;
- la variabile binaria  $b_{ij}$  con  $i, j \in I$  assume il valore 1 se l'oggetto  $i$  è situato dietro all'oggetto  $j$ , altrimenti è 0;
- la variabile binaria  $r_i$  con  $i \in I$  assume il valore 1 se l'oggetto  $i$  è ruotato su se stesso di  $90^\circ$ , ne risulta che  $w_i$  e  $d_i$  sono invertiti, altrimenti è 0;
- la variabile binaria  $\alpha_{ij}$  con  $i, j \in I$  assume il valore 1 se l'oggetto  $i$  ha alla sua sinistra l'oggetto  $j$  e questo gli impedisce di essere sfilato da sinistra, altrimenti è 0;
- la variabile binaria  $\beta_{ij}$  con  $i, j \in I$  assume il valore 1 se l'oggetto  $i$  ha alla sua destra l'oggetto  $j$  e questo gli impedisce di essere sfilato da destra, altrimenti è 0;
- la variabile binaria  $\gamma_{ij}$  con  $i, j \in I$  assume il valore 1 se l'oggetto  $i$  ha davanti a se l'oggetto  $j$  e questo gli impedisce di essere sfilato frontalmente, altrimenti è 0;
- la variabile binaria  $s_{vi}$  con  $i \in I$  e  $v \in \theta$  assume il valore 1 se l'oggetto  $i$  ha nella direzione  $v$  almeno un oggetto che gli impedisca di essere sfilato nella rispettiva direzione, altrimenti è 0;
- il parametro binario  $o_{ij}$  assume il valore 1 se l'oggetto  $i$  appartiene ad un ordine che deve essere scaricato prima dell'ordine a cui appartiene l'oggetto  $j$ , altrimenti è 0.

$$\min D \quad (4.19)$$

$$\text{s.t.} \quad l_{ij} + l_{ji} + b_{ij} + b_{ji} \geq 1 \quad i < j \quad i, j \in I \quad (4.20)$$

$$y_i - y_j + M_d b_{ij} \leq M_d - \Delta_i \quad i, j \in I \quad (4.21)$$

$$x_i - x_j + M_w l_{ij} \leq M_w - \Omega_i \quad i, j \in I \quad (4.22)$$

$$x_i + \Omega_i \leq W \quad i, j \in I \quad (4.23)$$

$$y_i + \Delta_i \leq D \quad i, j \in I \quad (4.24)$$

$$\Delta_i = d_i(1 - r_i) - w_i r_i \quad i, j \in I \quad (4.25)$$

$$\Omega_i = w_i(1 - r_i) - d_i r_i \quad i, j \in I \quad (4.26)$$

$$\alpha_{ij} \leq l_{ij} \quad i, j \in I \quad (4.27)$$

$$\alpha_{ij} \leq 1 - (b_{ij} + b_{ji}) \quad i, j \in I \quad (4.28)$$

$$\alpha_{ij} \geq l_{ij} - M_\alpha(b_{ij} + b_{ji}) \quad i, j \in I \quad (4.29)$$

$$\beta_{ij} \leq l_{ji} \quad i, j \in I \quad (4.30)$$

$$\beta_{ij} \leq 1 - (b_{ij} + b_{ji}) \quad i, j \in I \quad (4.31)$$

$$\beta_{ij} \geq l_{ji} - M_\beta(b_{ij} + b_{ji}) \quad i, j \in I \quad (4.32)$$

$$\gamma_{ij} \leq b_{ij} \quad i, j \in I \quad (4.33)$$

$$\gamma_{ij} \leq 1 - (l_{ij} + l_{ji}) \quad i, j \in I \quad (4.34)$$

$$\gamma_{ij} \geq b_{ij} - M_\gamma(l_{ij} + l_{ji}) \quad i, j \in I \quad (4.35)$$

$$\alpha_{ij} o_{ij} \leq s_{\alpha i} \quad i, j \in I \quad (4.36)$$

$$\beta_{ij} o_{ij} \leq s_{\beta i} \quad i, j \in I \quad (4.37)$$

$$\gamma_{ij} o_{ij} \leq s_{\gamma i} \quad i, j \in I \quad (4.38)$$

$$\sum_{v \in \theta} s_{vi} \leq 2 \quad i \in I \quad (4.39)$$

$$b_{ij}, l_{ij}, \alpha_{ij}, \beta_{ij}, \gamma_{ij}, r_i \in \{0, 1\} \quad i \neq j \quad i, j \in I \quad (4.40)$$

$$x_i, y_i, w_i, d_i, \Delta_i, \Omega_i \in \mathbb{R}^+ \quad i \in I \quad (4.41)$$

$$s_{vi} \in \{0, 1\} \quad i \in I \wedge v \in \theta \quad (4.42)$$

Spieghiamo ora il significato di ciascun vincolo:

- la funzione obiettivo (4.19) minimizza i metri lineari rispetto alla profondità;
- il vincolo (4.20) impone che presi due oggetti almeno uno dei due si trovi dietro o alla sinistra dell'altro;
- il vincolo (4.21) dice che se  $b_{ij} = 1$  allora impone che l'oggetto  $i$  si trovi dietro l'oggetto  $j$ , altrimenti il vincolo viene disattivato;
- il vincolo (4.22) dice che se  $l_{ij} = 1$  allora impone che l'oggetto  $i$  si trovi alla sinistra dell'oggetto  $j$ , altrimenti il vincolo viene disattivato;
- il vincolo (4.23) impone che dato il valore  $x_i$ , corrispondente alla coordinata  $x$  dell'angolo sinistro più arretrato dell'oggetto, sommandoci la larghezza  $w_i$  dell'oggetto e ottenendo quindi la coordinata  $x$  dell'angolo destro più arretrato, questa sia contenuta nell'intervallo  $[0, W]$ ;
- il vincolo (4.24) impone che dato il valore  $y_i$ , corrispondente alla coordinata  $y$  dell'angolo sinistro più arretrato dell'oggetto, sommandoci la profondità  $d_i$  dell'oggetto e ottenendo quindi la coordinata  $y$  dell'angolo sinistro più avanzato, questa sia contenuta nell'intervallo  $[0, D]$ ;
- il vincolo (4.25) impone che  $\Delta_i$  corrisponda alla profondità corretta considerando la rotazione;
- il vincolo (4.26) impone che  $\Omega_i$  corrisponda alla larghezza corretta considerando la rotazione;
- i vincoli (4.27), (4.28) e (4.29) impongono che se  $l_{ij} = 1 \wedge t_{ij} + t_{ji} = 0 \Rightarrow \alpha_{ij} = 1$ , che significa che se un oggetto  $i$  si trovi a destra di un oggetto  $j$  ma nessuno dei due sia dietro all'altro, allora l'oggetto  $i$  non potrà essere sfilato dalla sponda sinistra del camion;
- i vincoli (4.30), (4.31) e (4.32) impongono che se  $l_{ji} = 1 \wedge t_{ij} + t_{ji} = 0 \Rightarrow \beta_{ij} = 1$ , che significa che se un oggetto  $i$  si trovi a sinistra di un oggetto  $j$  ma nessuno dei due sia dietro all'altro, allora l'oggetto  $i$  non potrà essere sfilato dalla sponda destra del camion;
- i vincoli (4.33), (4.34) e (4.35) impongono che se  $b_{ij} = 1 \wedge l_{ij} + l_{ji} = 0 \Rightarrow \gamma_{ij} = 1$ , che significa che se un oggetto  $i$  si trovi dietro un oggetto  $j$  ma nessuno dei due sia alla sinistra dell'altro, allora l'oggetto  $i$  non potrà essere sfilato frontalmente del camion;

- il vincolo (4.36) impone che se  $s_{1i} = 1$  allora potranno esservi dei pacchi posizionati alla sua sinistra che ne blocchino lo scarico, se  $s_{1i} = 0$  allora la via dovrà essere libera permettendo così lo scarico;
- il vincolo (4.37) impone che se  $s_{2i} = 1$  allora potranno esservi dei pacchi posizionati alla sua destra che ne blocchino lo scarico, se  $s_{2i} = 0$  allora la via dovrà essere libera permettendo così lo scarico;
- il vincolo (4.38) impone che se  $s_{3i} = 1$  allora potranno esservi dei pacchi posizionati davanti a sé che ne blocchino lo scarico, se  $s_{3i} = 0$  allora la via dovrà essere libera permettendo così lo scarico;
- il vincolo (4.39) impone che  $\sum_{v \in \theta} s_{vi} \leq 2$  ossia che possano essere occupate al massimo 2 vie di scarico lasciandone libera almeno una.

## 4.7 Modello 3D con rotazione e sovrapposizione

Il modello è stato basato su quello fornito dall'articolo<sup>22</sup>. Con questo modello, evoluzione del modello 2D con rotazione, ci si propone di introdurre la sovrapposizione degli oggetti, considerando però che alcuni di essi potranno avere come condizione quella di non poter avere altri oggetti al di sopra di sé, come mostrato nella Figura 4.5.

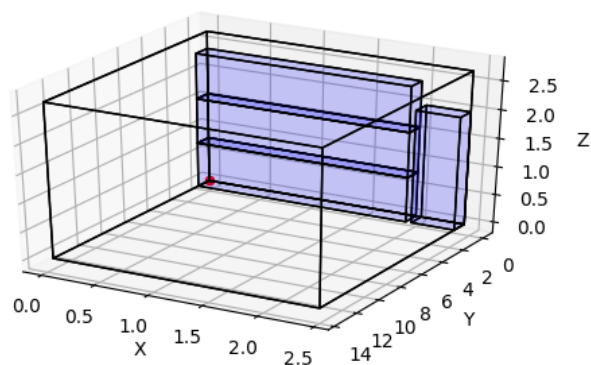


Figure 4.5: Veduta 3D di alcuni pacchi.

Un problema non indifferente inerente questo modello viene individuato nella stabilità degli oggetti. Soluzioni che riportino oggetti sopraelevati, le cui aree di base non poggino completamente sugli oggetti sottostanti sono da ritenersi non valide. Per risolvere questo problema si è deciso di optare per una semplificazione: se un oggetto  $i$  si trova sopra ad uno  $j$ , allora l'area di base dell'oggetto  $i$  dovrà essere interamente appoggiata alla faccia superiore dell'oggetto  $j$ .

Il modello 3D con rotazione e sovrapposizione utilizza le seguenti variabili continue positive:

- la variabile continua  $x_i$  con  $i \in I$  individua la coordinata sull'asse  $x$  del vertice in basso a sinistra dell'oggetto  $i$ ;
- la variabile continua  $y_i$  con  $i \in I$  individua la coordinata sull'asse  $y$  del vertice in basso a sinistra dell'oggetto  $i$ ;
- la variabile continua  $z_i$  con  $i \in I$  individua la coordinata sull'asse  $z$  del vertice in basso a sinistra dell'oggetto  $i$ ;
- la variabile continua  $D$  rappresenta i metri lineari rispetto la profondità e va minimizzata;
- la variabile continua  $\Omega_i$  con  $i \in I$  assume il valore  $d_i$  se l'oggetto è stato ruotato altrimenti  $w_i$ ;
- la variabile continua  $\Delta_i$  con  $i \in I$  assume il valore  $w_i$  se l'oggetto è stato ruotato altrimenti  $d_i$ .

Inoltre introduce anche le seguenti variabili binarie:

- la variabile binaria  $l_{ij}$  con  $i, j \in I$  assume il valore 1 se l'oggetto  $i$  è situato alla sinistra dell'oggetto  $j$ , altrimenti è 0;
- la variabile binaria  $b_{ij}$  con  $i, j \in I$  assume il valore 1 se l'oggetto  $i$  è situato dietro all'oggetto  $j$ , altrimenti è 0;
- la variabile binaria  $r_i$  con  $i \in I$  assume il valore 1 se l'oggetto  $i$  è ruotato su se stesso di  $90^\circ$ , ne risulta che  $w_i$  e  $d_i$  sono invertiti, altrimenti è 0;
- la variabile binaria  $t_{ij}$  assume il valore 1 se l'oggetto  $i$  ha sopra di sé l'oggetto  $j$ , altrimenti è 0;
- la variabile binaria  $f_{ij}$  assume il valore 1 se l'oggetto  $i$  ha sopra di sé l'oggetto  $j$  e la faccia superiore dell'oggetto  $i$  è a contatto con la faccia inferiore dell'oggetto  $j$ , altrimenti è 0;
- la variabile binaria  $k_{ij}$  con  $i, j \in I$  assume il valore 1 se l'oggetto  $i$  si trova alla sinistra e/o dietro un oggetto  $j$  oppure al di sotto di esso.

Inoltre la variabile binaria  $k_{ij}$  viene utilizzata per imporre che un oggetto possa trovarsi alla sinistra o dietro ad un altro oggetto ma non al di sotto di un altro e viceversa, imponendo ciò che segue:

$$\min D \quad (4.43)$$

$$\text{s.t.} \quad k_{ij} \leq l_{ij} + l_{ji} + b_{ij} + b_{ji} \quad i < j \quad i, j \in I \quad (4.44)$$

$$2k_{ij} \geq l_{ij} + l_{ji} + b_{ij} + b_{ji} \quad i < j \quad i, j \in I \quad (4.45)$$

$$1 - k_{ij} = t_{ij} + t_{ji} \quad i < j \quad i, j \in I \quad (4.46)$$

$$x_i + \Omega_i \leq W \quad i, j \in I \quad (4.47)$$

$$y_i + \Delta_i \leq D \quad i, j \in I \quad (4.48)$$

$$z_i + h_i \leq H \quad i \in I \quad (4.49)$$

$$y_i - y_j + M_d b_{ij} \leq M_d - \Delta_i \quad i, j \in I \quad (4.50)$$

$$x_i - x_j + M_w l_{ij} \leq M_w - \Omega_i \quad i, j \in I \quad (4.51)$$

$$z_i - z_j + M_h t_{ij} \leq M_h - h_i \quad i, j \in I \quad (4.52)$$

$$z_i - z_j + M_h f_{ij} \geq -M_h - h_i \quad i, j \in I \quad (4.53)$$

$$x_i - x_j \leq M_w(1 - f_{ij}) \quad i, j \in I \quad (4.54)$$

$$y_i - y_j \leq M_d(1 - f_{ij}) \quad i, j \in I \quad (4.55)$$

$$x_i - x_j + \Omega_i - \Omega_j \geq -M_w(1 - f_{ij}) \quad i, j \in I \quad (4.56)$$

$$y_i - y_j + \Delta_i - \Delta_j \geq -M_d(1 - f_{ij}) \quad i, j \in I \quad (4.57)$$

$$f_{ij} \leq t_{ij} \quad i \in I \quad (4.58)$$

$$M_h \sum_{i \in I} f_{ij} \geq z_j \quad i \in I \quad (4.59)$$

$$\Delta_i = d_i(1 - r_i) - w_i r_i \quad i, j \in I \quad (4.60)$$

$$\Omega_i = w_i(1 - r_i) - d_i r_i \quad i, j \in I \quad (4.61)$$

$$b_{ij}, l_{ij}, t_{ij}, f_{ij}, k_{ij}, r_i \in \{0, 1\} \quad i \neq j \quad i, j \in I \quad (4.62)$$

$$x_i, y_i, z_i, w_i, d_i, \Delta_i, \Omega_i \in \mathbb{R}^+ \quad i \in I \quad (4.63)$$



Spieghiamo ora il significato di ciascun vincolo:

- la funzione obiettivo (4.43) minimizza i metri lineari rispetto alla profondità;
- i vincoli (4.44), (4.45) e (4.46) impongono che presi due oggetti uno sia dietro e/o alla sinistra dell'altro oppure uno dei due sia al di sotto dell'altro;
- il vincolo (4.47) impone che dato il valore  $x_i$ , corrispondente alla coordinata  $x$  dell'angolo sinistro più arretrato dell'oggetto, sommandoci la larghezza  $w_i$  dell'oggetto e ottenendo quindi la coordinata  $x$  dell'angolo destro più arretrato, questa sia contenuta nell'intervallo  $[0, W]$ ;
- il vincolo (4.48) impone che dato il valore  $y_i$ , corrispondente alla coordinata  $y$  dell'angolo sinistro più arretrato dell'oggetto, sommandoci la profondità  $d_i$  dell'oggetto e ottenendo quindi la coordinata  $y$  dell'angolo sinistro più avanzato, questa sia contenuta nell'intervallo  $[0, D]$ ;
- il vincolo (4.49) impone che dato il valore  $z_i$ , corrispondente alla coordinata  $y$  dell'angolo sinistro più arretrato dell'oggetto, sommandoci l'altezza  $h_i$  dell'oggetto e ottenendo quindi la coordinata  $y$  dell'angolo sinistro più in alto, questa sia contenuta nell'intervallo  $[0, H]$ ;
- il vincolo (4.50) dice che se  $b_{ij} = 1$  allora impone che l'oggetto  $i$  si trovi dietro l'oggetto  $j$ , altrimenti il vincolo viene disattivato;
- il vincolo (4.51) dice che se  $l_{ij} = 1$  allora impone che l'oggetto  $i$  si trovi alla sinistra l'oggetto  $j$ , altrimenti il vincolo viene disattivato;
- il vincolo (4.52) dice che se  $t_{ij} = 1$  allora impone che l'oggetto  $i$  si trovi al di sotto dell'oggetto  $j$ , altrimenti il vincolo viene disattivato;
- il vincolo (4.53) dice che se  $f_{ij} = 1$  allora impone che l'oggetto  $i$  si trovi al di sotto dell'oggetto  $j$  e a contatto con lo stesso, altrimenti il vincolo viene disattivato;
- i vincoli (4.54) e (4.55) impongono che se un oggetto  $i$  è sotto e a contatto con un oggetto  $j$ , allora la coordinata dell'angolo più vicino all'origine dovrà trovarsi all'interno del piano individuato dalla base superiore dell'oggetto  $i$ ;
- i vincoli (4.56) e (4.57) impongono che se un oggetto  $i$  è sotto e a contatto con un oggetto  $j$ , allora la coordinata dell'angolo più lontano all'origine dell'oggetto  $j$  dovrà trovarsi all'interno del piano individuato dalla base superiore dell'oggetto  $i$ ;

- il vincolo (4.58) impone che un oggetto  $i$  possa essere al di sotto e a contatto con un oggetto  $j$  solo se l'oggetto  $i$  è al di sotto dell'oggetto  $j$ ;
- il vincolo (4.59) impone che tutti gli oggetti  $i$  che non abbiano al di sotto di sé nessun oggetto debbano avere coordinata  $z_i = 0$
- il vincolo (4.60) impone che  $\Delta_i$  corrisponda alla profondità corretta considerando la rotazione;
- il vincolo (4.61) impone che  $\Omega_i$  corrisponda alla larghezza corretta considerando la rotazione.

# 5

## Test e validazione

Una attività di fondamentale importanza è stata quella di testing dei modelli.

### 5.1 Istanze

Diamo prima una definizione di istanza:

Una **istanza** è un insieme formato dai pacchi da disporre nel contenitore.

Diamo inoltre la definizione di gruppo di istanze:

Un **gruppo di istanze** è un insieme di istanze accomunate tra loro dalle simili dimensioni dei pacchi o dal numero di oggetti.

La prassi generale nell'eseguire il testing dei modelli è stata quella di creare un centinaio di istanze casuali, eseguire il modello sulle istanze generate e verificare la correttezza delle soluzioni fornite, con l'obiettivo di individuare imperfezioni e testare la tenuta dei vincoli. La verifica della correttezza delle soluzioni veniva fatta attraverso funzioni realizzate appositamente che verranno illustrate nelle sezioni successive. Questa procedura richiedeva circa una ventina di minuti di esecuzione ed è stata utilizzata solo dopo che i modelli avessero espresso, attraverso i loro vincoli, correttamente tutti i requisiti di partenza. La loro esecuzione è

avvenuta su istanze con pochi oggetti per risparmiare tempo e individuare subito eventuali errori.

Dopo la realizzazione di tutti i modelli, sicuri delle soluzioni fornite grazie alla validazione effettuata, si è passati all'esecuzione di 100 test per ciascun gruppo di istanze, riportate di seguito per ottenere maggiori informazioni in merito, il tutto eseguito per ciascun modello.

#ist	width_a	width_b	depth_a	depth_b
0	0.5	2.45	0.5	2.45
1	0.5	1.50	0.5	4.00
2	1.5	2.45	0.5	4.00
3	0.5	1.50	3.0	4.00
4	1.5	2.45	3.0	4.00
5	0.1	1.00	0.1	1.00
6	0.1	1.00	3.0	4.00
7	2.0	2.45	3.0	4.00
8	2.0	2.45	2.0	2.45
9	0.1	1.00	0.1	4.00

Table 5.1: Le dimensioni dei gruppi di istanze eseguite

Nella tabella 5.1 l'indice #ist è un codice identificativo del gruppo di istanze. Vengono riportati anche gli intervalli entro cui si è deciso debbano rientrare le dimensioni casuali dei pacchi per ogni gruppo di istanze, gli intervalli sono stati così definiti:

- **Larghezza:** [width\_a, width\_b]
- **Profondità:** [depth\_a, depth\_b]

## 5.2 Numero di oggetti

Fin dal modello 2D abbiamo capito che il numero di pacchi per ogni istanza sarebbe dovuto essere limitato in quanto già con sette pacchi i tempi di esecuzione

aumentavano vertiginosamente, abbiamo quindi deciso di scegliere in modo casuale in un intervallo  $[3,10]$  il numero di pacchi da assegnare a ciascuna istanza, imponendo un *time limit*<sup>[9]</sup> di 300 secondi. Questo portava ad ottenere soluzioni ottime e soluzioni *best bound*<sup>[9]</sup>, l'analisi dei risultati sarà divisa in queste due categorie.

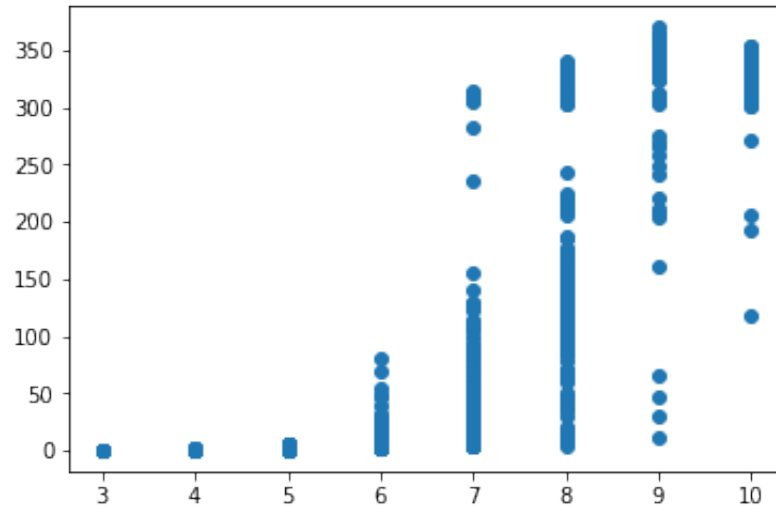


Figure 5.1: Grafico tempi esecuzione modello con diversi oggetti

Nel grafico in Figura 5.1 viene riportato come ascissa il numero di oggetti e come ordinata il tempo espresso in secondi, mostrando che aumentando il numero di oggetti cresce notevolmente il tempo di esecuzione, passando da pochi secondi a minuti.

Risultano molto interessanti quelle istanze che nonostante abbiano molti oggetti richiedano meno tempo per essere eseguiti, forse questo dovuto alle particolari dimensioni degli oggetti.

### 5.3 Validazione soluzioni fornite

Di fondamentale importanza per il confronto è stato che le soluzioni fornite dal modello fossero corrette, questo ha richiesto lo sviluppo di alcune funzioni che controllassero la validità delle stesse.

Per fare ciò sono state realizzate le seguenti funzioni:

- **CheckFeasible**: utilizzata per controllare che non vi fossero pacchi intersecati tra loro;
- **CheckSequence**: realizzata in due versioni:
  - **2D**: considerando che tutti gli oggetti fossero alla stessa altezza controllava che ciascun pacco avesse almeno una via attraverso cui essere scaricato;
  - **3D**: considerava anche la sovrapposizione tra pacchi e oltre a controllare di avere almeno una delle tre direzioni libere rispetto l'altezza a cui si trovava, controllava anche se sopra ciascun pacco al momento dello scarico vi fossero altri pacchi;
- **CheckStable**: utilizzata per controllare la stabilità degli oggetti, verificava che l'area di base inferiore poggiasse completamente sulle basi superiori degli oggetti sottostanti;
- **ProjectionCommonArea**: utilizzata per verificare se due parallelepipedi avessero intersezioni tra le loro proiezioni rispetto ad una coppia di assi come altezza e profondità.

Inoltre per natura stessa dei modelli essi ricercano la soluzione ottima. Si può quindi dire che se le soluzioni trovate vengono individuate entro il tempo limite e vengono verificate dalle funzioni precedentemente riportate, allora queste possono dirsi effettivamente ottime e reali, perfette candidate per un confronto con le soluzioni corrispettive fornite dall'euristica.

# 6

## Tecnologie e strumenti

Questo capitolo riporta le tecnologie e gli strumenti utilizzati durante il corso dello stage.

### 6.1 Tecnologie

#### 6.1.1 Python



Figure 6.1: Logo Python

Python<sup>16</sup>, il cui logo riportato in Figura 6.1, è un linguaggio di programmazione tra i più famosi attualmente disponibili, è un linguaggio ad oggetto, sintatticamente semplice e intuitivo che permette di avere un approccio ai problemi molto più operativo. Python<sup>16</sup> è stata la base tecnologica su cui si è basato lo stage e gli strumenti utilizzati. Oltre ad aver usato questo linguaggio abbiamo utilizzato alcune librerie fornite dalla libreria standard.

### 6.1.2 Google Or-Tools

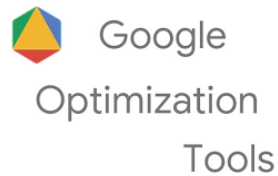


Figure 6.2: Logo Or-Tools

Google Or-Tools<sup>13</sup>, il cui logo riportato in Figura 6.2, è una libreria open source sviluppata da Google che permette di risolvere problemi di ottimizzazione potendo scegliere se utilizzare solver commerciali come CPLEX<sup>3</sup> o Gurobi<sup>8</sup> oppure open source come SCIP<sup>17</sup> o Cbc<sup>2</sup>. Inoltre viene fornita la libreria per diversi linguaggi come:

- C++
- Java
- Python
- C#

Nel nostro caso dato si è deciso di utilizzare la libreria per il linguaggio Python<sup>16</sup>, utilizzandola per realizzare dei modelli di programmazione lineare intera. La libreria è stata imposta dall'azienda dopo il primo periodo di studio degli strumenti e delle tecnologie.

### 6.1.3 Cbc



Figure 6.3: Logo Cbc



Cbc<sup>2</sup>, il cui logo riportato in Figura 6.3, è un solver di programmazione lineare intera scritto in C++<sup>4</sup>, il motivo per cui si è scelto questo è la compatibilità con la libreria Google Or-Tools e la sua natura open source.

#### 6.1.4 Boost



Figure 6.4: Logo Boost

Boost<sup>1</sup>, il cui logo riportato in Figura 6.4, è un insieme di librerie C++<sup>4</sup> open source che permettono di aumentare le capacità applicative del linguaggio. Viene utilizzato per progetti open source e commerciali. Il suo utilizzo si è reso necessario in quanto le librerie fornite dall'azienda dipendevano da esso, in particolare grazie alla capacità di esporre classi C++<sup>4</sup> al linguaggio Python<sup>16</sup>.

#### 6.1.5 Pandas



Figure 6.5: Logo Pandas

Pandas<sup>14</sup>, il cui logo riportato in Figura 6.5, è una libreria open source utilizzata con il linguaggio Python<sup>16</sup>, essa è fondamentale per eseguire analisi dei dati, inoltre offre delle funzionalità per la lettura dei dati da file `xlsx`, `csv`, `txt` e la manipolazione degli stessi.

Inoltre fornisce dei comodi metodi di scrittura su file anche verso  $\text{\LaTeX}$ , libreria consigliata dall'azienda.

### 6.1.6 Matplotlib



Figure 6.6: Logo Matplotlib

La libreria Matplotlib<sup>11</sup>, il cui logo riportato in Figura 6.6, è stata utilizzata durante lo stage per la realizzazione dei grafici e su di essa si basano le immagini 2D e 3D dei pacchi precedentemente mostrate, è stato fondamentale per poter eseguire una verifica quantitativa delle soluzioni. Inoltre è stata utilizzata per realizzare grafici importanti grazie ai quali spiegare in modo efficace alcuni concetti.

### 6.1.7 Multiprocessing

La libreria Multiprocessing<sup>12</sup> è stata utilizzata per seguire un numero maggiore di test in modo concorrente superando gli impedimenti del *GIL*<sup>[9]</sup>. Consigliata dall'azienda in quanto i tempi di esecuzione dei test non utilizzando la concorrenza si attestavano alle 10 ore circa, con la suddetta libreria ci attestiamo circa sulle 2 ore.

## 6.2 Strumenti

### 6.2.1 Dropbox



Figure 6.7: Logo Dropbox

Dropbox<sup>5</sup>, il cui logo riportato in Figura 6.7, è un servizio di archiviazione condivisa in cloud molto famoso e utilizzato nel mondo, permette di condividere file e documenti di vario genere con altri collaboratori, utile per la documentazione.

Durante lo stage è stato utilizzato per condividere il diario e le presentazioni con i colleghi.

### 6.2.2 GitHub



Figure 6.8: Logo GitHub

GitHub<sup>7</sup>, il cui logo riportato in Figura 6.8, è un servizio di versionamento basato su repository git<sup>6</sup>. Questo servizio permette di creare repository pubbliche e private con cui versionare il proprio progetto, aspetto improntante nello sviluppo software.

### 6.2.3 Visual Studio Code



Figure 6.9: Logo Visual Studio Code

Visual Studio Code<sup>21</sup>, il cui logo riportato in Figura 6.9, è un editor open source che grazie alle estensioni installabili permette di utilizzare lo stesso editor per moltissimi linguaggi di programmazione. Inoltre grazie all'estensione per git<sup>6</sup> è possibile versionare direttamente dall'editor, le estensioni permettono anche di eseguire una verifica della sintassi del codice su cui si lavora a livello statico in modo da individuare eventuali errori ed è integrato in esso il terminale con cui lanciare gli script Python<sup>16</sup>.

### 6.2.4 Jupyter Notebook



Figure 6.10: Logo Jupyter Notebook

Jupyter notebook<sup>10</sup>, il cui logo riportato in Figura 6.10, è applicazione web open source che permette di creare e condividere documenti che condividono del codice. Supporta molti linguaggi di programmazione tra i quali Python<sup>16</sup> e permette una programmazione interattiva generalizzata dal tool IPython<sup>9</sup>. Fondamentale per semplicità di utilizzo e per la possibilità di esportare gli script in molti formati.

### 6.2.5 PIP



Figure 6.11: Logo Pip

PIP<sup>15</sup>, il cui logo riportato in Figura 6.11, è un gestore di pacchetti Python<sup>16</sup> fondamentale per l'installazione di moduli non presenti nella libreria standard, di facile utilizzo ha permesso di installare velocemente moduli indispensabili per il proseguimento dello stage.

### 6.2.6 Taiga



Figure 6.12: Logo Taiga

Taiga<sup>19</sup>, il cui logo riportato in Figura 6.12, è una piattaforma di project management utilizzata durante il progetto per la gestione delle task da soddisfare in un certo periodo di tempo.



# 7

## Risultati

Nel seguente capitolo riporteremo i risultati ottenuti dai confronti tra le soluzioni fornite dai modelli e le corrispettive fornite dall'euristica.

Per ciascun modello verranno riportate due tabelle con i risultati ottenuti, queste verranno divise nelle due categorie di soluzioni ottenute:

- ottime;
- best bound.

Per best bound viene intesa una soluzione fornita da un modello dopo che si è raggiunto il suo time limit, definito come tempo massimo di esecuzione e fissato per convenzione a trecento secondi.

Queste soluzioni best bound non sono necessariamente ottime ma possono essere considerate come un buon risultato.

Le Tabelle contengono una riga per ogni gruppo d'istanze numerate da 0 a 9, esse riporteranno il numero d'istanze per gruppo, errore relativo  $\epsilon_r$  nel rapporto tra i metri lineari ottenuti e errore assoluto  $\epsilon_a$  espresso in metri, infine il tempo medio di esecuzione di quel gruppo d'istanze, il tempo non sarà riportato per le soluzioni best bound in quanto le soluzioni stesse sono riferite al time limit di trecento secondi.

Successivamente verranno riportate alcune osservazioni sui risultati di alcuni gruppi d'istanze e un rapporto generale sulla bontà delle soluzioni dei modelli

aldilà dei gruppi d'istanze, ricordiamo che sia il modello che l'euristica venivano eseguite sulle stesse istanze e con le stesse caratteristiche, permettendo così un confronto oggettivo.

## 7.1 Errori

L'obiettivo sia del modello che dell'euristica è quello di minimizzare i metri lineari occupati dai pacchi, per convenzione vengono così definiti:

- Metri lineare modello:  $Obj_m$
- Metri lineare euristica:  $Obj_h$

Gli errori che verranno riportati successivamente vengono calcolati come segue:

$$\epsilon_a = Obj_h - Obj_m$$
$$\epsilon_r = \frac{100(Obj_h - Obj_m)}{Obj_m}$$



## 7.2 Risultati modello 2DR

Di seguito verranno riportati i risultati ottenuti dal confronto tra soluzioni fornite dal modello e dall'euristica:

	#ist	$\epsilon_r$	$\epsilon_a$	Time
0	64.0	3.89	0.23	40.95
1	73.0	11.90	0.81	31.51
2	76.0	0.94	0.10	19.76
3	84.0	12.29	1.26	19.79
4	75.0	0.00	0.00	27.69
5	73.0	14.17	0.11	12.58
6	78.0	6.60	0.47	20.95
7	76.0	0.00	0.00	36.62
8	81.0	0.00	0.00	23.70
9	81.0	10.34	0.45	10.60

Table 7.1: Risultati 2DR ottimi

	#ist	$\epsilon_r$	$\epsilon_a$
0	36.0	7.35	0.59
1	27.0	15.98	1.48
2	24.0	0.91	0.17
3	16.0	17.26	2.62
4	25.0	0.00	0.00
5	27.0	16.16	0.21
6	22.0	19.40	1.70
7	24.0	0.00	0.00
8	19.0	0.00	0.00
9	19.0	20.58	1.10

Table 7.2: Risultati 2DR best bound

Le prime osservazioni che mi sento di condividere sono sul perché gruppi d'istanze come il 4,7 e 8 riportino errori  $\epsilon_r$  e  $\epsilon_a$  uguali a 0, questo perché mediamente i pacchi di tali gruppi d'istanze avevano dimensioni che non permettevano di essere affiancati tra loro, quindi per ogni istanza il modello e l'euristica si sono ridotti ad allineare i pacchi uno davanti all'altro, ottenendo sempre lo stesso risultato. Sembra interessante anche il gruppo d'istanze 9 che riporta mediamente un tempo di esecuzione minore, questo gruppo d'istanze è formata da mix di pacchi stretti e corti e stretti e lunghi, questo porta gli errori  $\epsilon_r$  per quanto riguarda le soluzioni ottime ad un valore del 10%, mentre con le soluzioni best bound questo aumenta fino al 20%. Considerazione interessante inoltre è come ci si aspetterebbe di veder diminuire gli errori con le soluzioni best bound, questo invece non accade e anzi aumenta il distacco dalle soluzioni fornite dall'euristica, segno che le soluzioni best bound fornite dal modello sono comunque valide per il confronto.

### 7.3 Risultati modello 2DRS

Di seguito verranno riportati i risultati ottenuti dal confronto tra soluzioni fornite da euristica e modello 2DRS:

	#ist	$\epsilon_r$	$\epsilon_a$	Time
0	76.0	4.74	0.26	41.72
1	75.0	12.44	0.83	27.96
2	82.0	0.56	0.07	20.97
3	72.0	14.59	1.62	29.67
4	81.0	0.00	0.00	28.00
5	75.0	14.87	0.12	17.89
6	78.0	9.18	0.68	17.22
7	85.0	0.00	0.00	13.99
8	79.0	0.00	0.00	25.25
9	89.0	7.69	0.32	12.87

Table 7.3: Risultati 2DRS ottimi

	#ist	$\epsilon_r$	$\epsilon_a$
0	24.0	5.84	0.52
1	25.0	14.26	1.29
2	18.0	0.99	0.18
3	28.0	15.82	2.40
4	19.0	0.00	0.00
5	25.0	16.20	0.20
6	22.0	20.83	1.97
7	15.0	0.00	0.00
8	21.0	0.00	0.00
9	11.0	23.35	1.06

Table 7.4: Risultati 2DRS best bound

Le prime osservazioni da riportare riguardano la sequenza di scarico implementata sia dall'euristica che dal modello. La correttezza della sequenza è garantita dall'euristica attraverso l'ordinamento dei pacchi in base al loro ordine di scarico, insiemi di pacchi appartenenti ad ordini di scarico successivi verranno inseriti per primi, raggruppando così pacchi di ordini uguali in strati, questa tecnica permette di garantire la stabilità generale delle merci, la quale non è invece garantita dal modello che si limita a controllare solo che ogni pacco abbia almeno una delle tre vie di scarico libere come mostrato nella Figura 4.4 e 4.3. Dobbiamo però ricordare come i test eseguiti lavorassero su un numero molto limitato di oggetti, ciò ha limitato molto il problema della stabilità generale permettendo così un confronto tra le coppie di soluzioni. Possiamo osservare come un aumento della complessità del problema non abbia portato però ad un aumento degli errori generalizzato ma anzi in alcuni gruppi d'istanze sia diminuito, mentre i tempi d'esecuzione siano aumentati generalmente. Le istanze con gli errori maggiori restano sempre le

stesse del precedente modello, in particolare salta all'occhio come l'errore  $\epsilon_r$  del gruppo d'istanze 3 si attesti al 20%, questo gruppo è formato da pacchi stretti e lunghi, valore importante che porta ad uno scarto tra modello e euristica di quasi 3 metri.

## 7.4 Risultati modello 3D

Di seguito verranno riportati i risultati ottenuti dal confronto tra soluzioni fornite da euristica e modello 3D con rotazione e sovrapposizione:

	#ist	$\epsilon_r$	$\epsilon_a$	Time
0	76.0	5.05	0.25	39.15
1	77.0	11.11	0.67	31.87
2	84.0	0.84	0.10	33.15
3	72.0	9.83	0.96	34.07
4	79.0	0.00	0.00	36.59
5	65.0	9.90	0.08	13.53
6	76.0	6.33	0.45	26.50
7	76.0	0.00	0.00	39.09
8	78.0	0.00	0.00	25.45
9	76.0	10.73	0.37	20.24

Table 7.5: Risultati 3D ottimi

	#ist	$\epsilon_r$	$\epsilon_a$
0	24.0	5.24	0.49
1	23.0	12.87	1.22
2	16.0	0.80	0.11
3	28.0	21.01	2.95
4	21.0	0.00	0.00
5	35.0	14.47	0.17
6	24.0	16.85	1.55
7	24.0	0.00	0.00
8	22.0	0.00	0.00
9	24.0	13.96	0.59

Table 7.6: Risultati 3D best bound

Le istanze che sono state generate non contenevano solo oggetti *stackable*<sup>[9]</sup>, ma contenevano in numero maggiore anche oggetti *fragili* che sopra di sé non potevano averne nessun altro.

Nell'ordinare gli oggetti l'euristica inseriva nel container arbitrariamente oggetti *fragili* e non comportando così che al momento dell'inserimento di un oggetto *stackable* magari non vi fossero più oggetti compatibili da potervi mettere sopra. Il modello in questione risulta essere più vincolato dell'euristica, in quanto non è stato possibile esprimere il concetto di stabilità degli oggetti nella sua totalità.

Il concetto è stato semplificato in modo che, se un oggetto si trova al di sopra di un altro, allora la sua base inferiore deve essere completamente poggiata alla faccia superiore di quello sotto. L'euristica aveva invece la possibilità che lo stesso pacco potesse poggiare su più pacchi, nei test abbiamo tenuto conto del problema inserendo solo alcuni pacchi stackable.

# 8

## Conclusioni

Nel seguente capitolo verranno riportate le conclusioni che si è potuto trarre alla fine di questo stage.

### 8.1 Consuntivo finale

Prima di iniziare lo stage, si era concordato insieme con l'azienda la pianificazione dello stesso, definendo obiettivi da raggiungere e calendarizzandoli sulle 320 ore disponibili al fine di poterli soddisfare a pieno. La pianificazione iniziale è stata rispettata nella sua visione generale andando a modificarne invece le scadenze orarie come mostrato nella Tabella 8.1. La formazione è stata più breve del previsto dato che la scelta del software di modellazione algebrica è ricaduta sullo stesso Google Or-Tools<sup>13</sup>, per la realizzazione dei modelli in generale la prototipazione e la scrittura del modello in Google Or-Tools<sup>13</sup> è risultata meno dispendiosa del previsto, questo ha permesso di realizzare un modello non preventivato su consiglio dell'azienda e del tutor accademico. Si è deciso di eseguire i test di confronto con l'euristica nella parte finale dello stage invece che durante la loro realizzazione, questo perché l'intero sistema usato per testare i modelli fosse unico, concentrandosi di più nell'esecuzione di test di validazione che permettessero di verificare le soluzioni fornite dai modelli.

Durata in ore		Descrizione dell'attività
32		<b>A:</b> Formazione
	8	<ul style="list-style-type: none"> <li>Ricerca <i>framework</i> di modellazione algebrica</li> <li>Studio Google OR - Tools</li> </ul>
	24	
64		<b>B:</b> Versione algoritmo 2D
	8	<ul style="list-style-type: none"> <li>Individuazione ed analisi <i>constraints</i></li> <li>Prototipazione modello</li> <li>Traduzione in Python - Google OR - Tools</li> <li>Test validazione</li> </ul>
	8	
	24	
	24	
64		<b>C:</b> Versione algoritmo 2DR
	8	<ul style="list-style-type: none"> <li>Individuazione ed analisi <i>constraints</i></li> <li>Prototipazione modello</li> <li>Traduzione in Python - Google OR - Tools</li> <li>Test validazione</li> </ul>
	8	
	24	
	24	
72		<b>C:</b> Versione algoritmo 2DRS
	8	<ul style="list-style-type: none"> <li>Individuazione ed analisi <i>constraints</i></li> <li>Prototipazione modello</li> <li>Traduzione in Python - Google OR - Tools</li> <li>Test validazione</li> </ul>
	16	
	16	
	32	
72		<b>D:</b> Versione algoritmo 3D
	8	<ul style="list-style-type: none"> <li>Individuazione ed analisi <i>constraints</i></li> <li>Prototipazione modello</li> <li>Traduzione in Python - Google OR - Tools</li> <li>Test validazione</li> </ul>
	16	
	16	
	32	
16		<b>E:</b> Test confronto modello ed euristica
	4	<ul style="list-style-type: none"> <li>Confronto modello 2D-euristica</li> <li>Confronto modello 2DR-euristica</li> <li>Confronto modello 2DRS-euristica</li> <li>Confronto modello 3D-euristica</li> </ul>
	4	
	4	
	4	
<b>Totale: 320</b>		

Table 8.1: Ripartizione reale delle ore di stage

## 8.2 Raggiungimento degli obiettivi

Gli obiettivi concordati prima dell'inizio dello stage e riportati nel **Capitolo 2**, prevedevano il soddisfacimento di otto obiettivi obbligatori, quattro desiderabili e uno opzionale. Tutti gli obiettivi concordati sono stati soddisfatti a pieno e anzi è stato realizzato un modello non preventivato.

L'obiettivo opzionale *op01*: evoluzione euristica attraverso integrazione di nuove funzionalità non è stato inserito nella pianificazione in quanto si è svolto in contemporanea alla realizzazione dei modelli, le nuove funzionalità sono le funzioni di verifica con cui validare le soluzioni, riportate nel **Capitolo 5**.

## 8.3 Conoscenze acquisite

Le conoscenze acquisite durante il corso dello stage sono state le seguenti:

- Linguaggio Python<sup>16</sup>;
- Framework Google Or-Tools<sup>13</sup>;
- Jupyter notebook<sup>10</sup>;
- Librerie Matplotlib<sup>11</sup>;
- Librerie Pandas<sup>14</sup>;
- Modulo Multiprocessing<sup>12</sup>;
- Package management attraverso PIP<sup>15</sup>;

## 8.4 Valutazione personale

La valutazione dello stage svolto presso Trans-Cel non può che dirsi positiva, ho trovato un ambiente accogliente e dei colleghi che sono poi diventati amici. Tecnicamente parlando affrontare un problema così complesso è stato formativo, poiché ho imparato ad usare strumenti utili ed un linguaggio molto popolare ed usato al giorno d'oggi.

I lunghi confronti con il tutor aziendale sono stati importanti per capire le meccaniche dell'euristica. Lo stage è stato la conclusione di un percorso di tre anni molto intensi e credo si possa dire abbia coronato gli sforzi fatti sia dal punto di vista tecnico che umano.



# Glossario

- **Agile:** modello di ciclo di vita nato per sopperire alla rigidità dei modelli precedenti, caratterizzato da rilasci rapidi e incrementali, usato per rispondere velocemente alle richieste dei clienti in termini di nuovi requisiti.
- **Best Bound:** è una soluzione fornita da un modello dopo che si è raggiunto il tempo limite di esecuzione, questa soluzione non è ottima ma rappresenta il miglior risultato disponibile.
- **Brainstorming:** incontri di gruppo creativi utili per risolvere problemi o individuare nuove idee. Servono più di due partecipanti in modo che vi sia una discussione arbitraria e quindi utile.
- **Ciclo Di Vita:** insieme degli stati che il prodotto assume dal concepimento al ritiro.
- **Euristica:** algoritmo progettato per risolvere un problema velocemente, spesso una strada obbligata per risolvere problemi molto difficili.
- **GIL:** meccanismo usato dagli interpreti dei linguaggi di programmazione per sincronizzare i thread in modo che ve ne sia in esecuzione in coda.
- **Modello Incrementale:** modello di ciclo di vita che prevede rilasci multipli e successivi, dove ciascuno di essi realizza un incremento di funzionalità. I requisiti vengono trattati per importanza, prima quelli di maggior importanza in modo che possano stabilizzarsi con il rilascio delle versioni fino a quelli minori.
- **Milestone:** punto nel tempo al quale associamo un insieme di stati di avanzamento.
- **Open Source:** termine utilizzato per riferirsi ad un software di cui i detentori dei diritti sullo stesso ne rendono pubblico il codice sorgente.
- **Project Management:** gestione delle attività di analisi, progettazione, pianificazione e realizzazione degli obiettivi di un progetto, compito svolto dal project manager di un'azienda attraverso anche strumenti idonei.

- **Slack:** tempo aggiuntivo ad un'attività che ha lo scopo di evitare ritardi nella produzione del prodotto.
- **Soluzioni:** costruito software e termine usato per indicare l'insieme di pacchi da disporre e le loro coordinate che permettono di collocarli nel contenitore ed il contenitore stesso..
- **Solver:** software commerciale o open source che permette di risolvere problemi di programmazione lineare.
- **Stackable:** termine utilizzato per indicare se un pacco può avere sopra di sé altri pacchi.
- **Time Limit:** termine usato per indicare un tempo limite entro il quale può essere ricercata una soluzione dal solver.
- **Vehicle Routing:** famiglia di problemi che trattano tutti gli aspetti della gestione di una flotta di veicoli nell'ambito della logistica.

## Lista degli acronimi

<b>2D</b>	.....	Modello 2D
<b>2DR</b>	.....	Modello 2D con rotazione
<b>2DRS</b>	.....	Modello 2D con rotazione e sequenza di scarico
<b>3D</b>	.....	Modello 3D
<b>CBC</b>	.....	Coin-or branch and cut
<b>GIL</b>	.....	Global Interpreter Lock



# Riferimenti bibliografici

- [1] Boost. URL <https://www.boost.org/>.
- [2] Cbc. URL <https://projects.coin-or.org/Cbc>.
- [3] Cplex. URL <https://www.ibm.com/analytics/cplex-optimizer>.
- [4] C++. URL <http://www.cplusplus.org/>.
- [5] Dropbox. URL <https://dropbox.com/it/>.
- [6] Git, . URL <https://git-scm.com/>.
- [7] Github, . URL <https://www.github.com/>.
- [8] Gurobi. URL <http://www.gurobi.com/>.
- [9] Ipython. URL <https://ipython.org/>.
- [10] Jupyter notebook. URL <http://jupyter.org/>.
- [11] Matplotlib. URL <https://matplotlib.org/>.
- [12] Multiprocessing. URL <https://docs.python.org/2/library/multiprocessing.html>.
- [13] Google or-tools. URL <https://developers.google.com/optimization/>.
- [14] Pandas. URL <https://pandas.pydata.org/>.
- [15] Pip. URL <https://pypi.org/project/pip/>.
- [16] Python. URL <https://www.python.org/>.
- [17] Scip. URL <https://scip.zib.de/>.
- [18] Stageit. URL <http://informatica.math.unipd.it/laurea/stageit.html>.

- [19] Taiga. URL <https://taiga.io/>.
- [20] Telegram. URL <https://telegram.org/>.
- [21] Visual studio code. URL <https://code.visualstudio.com/>.
- [22] Christian Blum and Verena Schmid. Solving the 2D bin packing problem by means of a hybrid evolutionary algorithm. Inglese. *International Conference on Computational Science*, 2013. doi: <https://www.sciencedirect.com/science/article/pii/S1>.
- [23] M. Ghirardi, A. Grosso, and G. Perboli. *Esercizi svolti di ricerca operativa*. Esculapio, 2017. ISBN 9788874883226.